

2차 도체판 및 back-iron의 접합부가 선형 유도 전동기의 동특성에 미치는 영향

• 우경일^a, 권병일^a, 박승찬^b

한양대학교 전기공학과^a, 한양대학교 공학기술 연구소^b

Effects of Joints in the Secondary Conductor and back-iron on Dynamic Characteristics of Linear Induction Motor

• Woo Kyung-Il^a, Kwon Byung-Il^a, Park Seung-Chan^b

Dept. of Electrical Eng., Graduate School of Hanyang Univ.^a, RIET^b

Abstract - Linear Induction Motors(LIMs) with the long secondary conductor often have joints between the segmented secondary, which are especially used for magnetically levitated high-speed vehicle and elevators. In this paper, the dynamic characteristics of the LIM with joints in the secondary are investigated using the time-stepping finite element analysis. It is supposed that both aluminium conductor and back-iron have joint in the active zone during the analysis. As a result, thrust and normal force ripple which have effects on the motor dynamics and vibration are examined.

1. 서 론

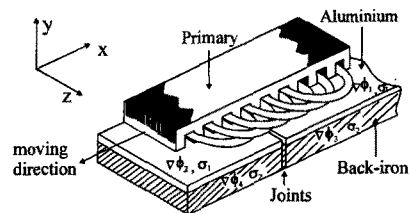
최근 자기 부상 열차, 리니어 엘리베이터 등의 추진 동력원으로 사용되는 선형 유도 전동기는 2차측이 1차측 보다 매우 길기 때문에, 2차측의 도체판과 back-iron은 주기적으로 접합되는 구조를 갖는다. 2차 도체판의 접합은 결국 2차 전류의 경로를 차단시켜 추력 및 수직력 특성에 영향을 미치게 된다[1][2]. 또한 back-iron의 접합 역시 자기적 경로를 변경시키므로 전동기의 동특성에 영향을 미치게 된다. 특히, 자기부상 열차나 엘리베이터용 LIM의 경우, 이와 같은 추력 및 수직력의 변화는 부상제어나 진동 특성에 악영향을 미치므로 이에 대한 정량적인 고찰이 필요하다.

따라서 본 논문에서는 LIM의 1차측이, 접합된 2차측을 통과할 때의 동특성을 시간차분 유한 요소법과 이동 mesh 기법[3]을 이용하여 고찰한다. 접합부의 위치가 active zone내에서 알루미늄 도체판과 back-iron 모두 일치하는 경우와 서로 불일치 하는 2가지의 경우에 관하여 동특성 해석을 한다. 해석의 편의상, 소형의 반송 용 LIM을 대상으로 하여 시뮬레이션을 행하였다.

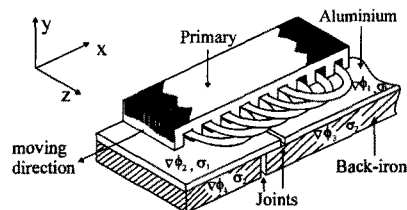
2. 유한 요소 해석

2.1 해석 모델

그림 1은 본 논문에서 해석하고자 하는 선형 유도 전동기로서 1차측의 active zone 내에서 알루미늄 도체판과 back-iron의 접합부의 위치가 동일한 경우와 그렇지 않은 경우를 보여준다. 각각의 접합부의 크기는 1[mm]로 하였고, 알루미늄과 back-iron 접합부의 거리는 31[mm]로 하였다. 본 논문에서는 그림 1의 2가지 모델에 대하여 동특성을 해석하였다. 표 1에는 선형 유도 전동기의 제원을 나타낸다.



(a) 접합부의 위치가 동일한 경우(A 모델)



(b) 접합부의 위치가 다른 경우(B 모델)
그림 1 해석 모델

표 1 선형 유도 전동기의 제원

1차측	극 수 : 4
	철심 적층 폭 : 63 [mm]
	슬롯 수 : 29 [개]
	슬롯 피치 : 11.1 [mm]
공극	극 피치 : 66.6 [mm]
2차측	3 [mm]
	두께 - Al. : 2.0 [mm]
	Fe : 16.0 [mm]

2.2 지배 방정식

이동좌표계를 사용하였을 경우 그림 1의 해석 모델에 대한 지배방정식을 구하면 식(1)과 같다[4].

$$\frac{\partial}{\partial x} \frac{1}{\mu} \left(\frac{\partial A_z}{\partial x} \right) + \frac{\partial}{\partial y} \frac{1}{\mu} \left(\frac{\partial A_z}{\partial y} \right) = -J_z \quad (1)$$

$$+ \sigma \left(\frac{\partial A_z}{\partial t} + \frac{\partial \phi_1}{\partial z} + \frac{\partial \phi_2}{\partial z} + \frac{\partial \phi_3}{\partial z} + \frac{\partial \phi_4}{\partial z} \right)$$

단, A_z : 자기벡터 포텐셜의 z축 방향 성분,

J_z : 슬롯내의 코일에 흐르는 전류밀도,

σ : 2차측 도체판의 도전율,

μ : 재료의 투자율,

$\phi_1, \phi_2, \phi_3, \phi_4$: 전기 스칼라 포텐셜.

이 지배방정식에 Galerkin 법을 적용하고, 요소 (e)에 서의 잔차를 구하면 다음과 같다.

$$\begin{aligned}
R_{je} = & \int_S \left(\frac{\partial}{\partial x} \left(\frac{1}{\mu} \frac{\partial A_z^{(e)}}{\partial x} \right) + \frac{\partial}{\partial y} \left(\frac{1}{\mu} \frac{\partial A_z^{(e)}}{\partial y} \right) \right) N_{je} dx dy \\
& - \sigma_1 \int_{S_1} \frac{\partial A_z^{(e)}}{\partial t} N_{je} dx dy - \sigma_1 \int_{S_1} \frac{\partial \phi_1}{\partial z} N_{je} dx dy \\
& - \sigma_1 \int_{S_2} \frac{\partial A_z^{(e)}}{\partial t} N_{je} dx dy - \sigma_1 \int_{S_2} \frac{\partial \phi_2}{\partial z} N_{je} dx dy \\
& - \sigma_2 \int_{S_3} \frac{\partial A_z^{(e)}}{\partial t} N_{je} dx dy - \sigma_2 \int_{S_3} \frac{\partial \phi_3}{\partial z} N_{je} dx dy \\
& - \sigma_2 \int_{S_4} \frac{\partial A_z^{(e)}}{\partial t} N_{je} dx dy - \sigma_2 \int_{S_4} \frac{\partial \phi_4}{\partial z} N_{je} dx dy \\
& + \int_S J_z N_{je} dx dy \quad (j=1,2,3),
\end{aligned} \quad (2)$$

여기서, $A_z^{(e)}$ 는 한 요소내의 자기 벡터 포텐셜이고 N_{je} 는 요소의 형상함수이다. 그리고 S_1 과 S_2 는 접합된 2차 도체판의 단면적이고, S_3 과 S_4 는 접합된 back-iron의 단면적을 나타낸다.

식 (2)를 전요소에 대하여 적분하여 매트릭스 형식으로 나타내면 식 (3)과 같다.

$$[S \ C \ Z_1 \ Z_2 \ Z_3 \ Z_4] \begin{bmatrix} A \\ I \\ \frac{\partial \phi_1}{\partial z} \\ \frac{\partial \phi_2}{\partial z} \\ \frac{\partial \phi_3}{\partial z} \\ \frac{\partial \phi_4}{\partial z} \end{bmatrix}_{t+\Delta t} = [G]_t, \quad (3)$$

식 (3)에서 S 는 절점의 위치와 투자율 및 와전류 밀도에 관련된 계수 매트릭스, C 는 코일의 전류에 관련된 계수 매트릭스를 나타내며, Z_1, Z_2, Z_3, Z_4 는 $\frac{\partial \phi}{\partial z}$ 에 관련된 계수 매트릭스, G 는 전류 밀도에 관련된 계수 매트릭스를 나타낸다.

2.3 전압 방정식의 결합

식 (3)과 같이 자기 벡터 포텐셜과 권선의 전류값 및 $\frac{\partial \phi}{\partial z}$ 을 미지수로 해를 구하는 경우, 방정식의 수보다 미지수의 수가 많기 때문에 전압 방정식이 필요하게 된다. Krichhoff 전압 법칙을 회로에 적용하면 다음과 같다.

$$\begin{aligned}
\frac{d\Psi_a}{dt} - \frac{d\Psi_c}{dt} + L \frac{dI_a}{dt} - L \frac{dI_c}{dt} \\
+ R_a I_a - R_c I_c = V_a - V_c
\end{aligned} \quad (4)$$

$$\begin{aligned}
\frac{d\Psi_a}{dt} - \frac{d\Psi_b}{dt} + L \frac{dI_a}{dt} - L \frac{dI_b}{dt} \\
+ R_a I_a - R_b I_b = V_a - V_b
\end{aligned} \quad (5)$$

여기서, Ψ_a, Ψ_b, Ψ_c 는 각 상에 대한 자속 쇄교수, L 은 각 상의 코일단의 누설 인덕턴스이다. 선형 유도 전동기가 3상 Y결선이므로 Krichhoff 법칙에 의해 식 (6)이 성립된다.

$$I_a + I_b + I_c = 0 \quad (6)$$

식 (4)와 (5)의 시간 미분항 처리를 위하여 후퇴 차분법을 사용하고, 식 (6)과 연립하면 다음과 같이 된다.

$$[K \ X \ 0 \ 0 \ 0] \begin{bmatrix} A \\ I \\ \frac{\partial \phi_1}{\partial z} \\ \frac{\partial \phi_2}{\partial z} \\ \frac{\partial \phi_3}{\partial z} \\ \frac{\partial \phi_4}{\partial z} \end{bmatrix}_{t+\Delta t} = [F]_t, \quad (7)$$

단, K 는 역기전력에 관련된 계수 매트릭스, X 와 F 는 다음과 같으며, Δt 는 샘플링 시간이다.

$$X = \begin{bmatrix} L + \Delta t R_a & 0 & -(L + \Delta t R_c) \\ L + \Delta t R_a & -(L + \Delta t R_b) & 0 \\ 1 & 1 & 1 \end{bmatrix} \quad (8)$$

$$F = \begin{bmatrix} \Delta t(V_a - V_c) + \Psi_a^t - \Psi_c^t + L(I_a^t - I_c^t) \\ \Delta t(V_a - V_b) + \Psi_a^t - \Psi_b^t + L(I_a^t - I_b^t) \\ 0 \end{bmatrix} \quad (9)$$

2.4 전류의 연속성

접합된 도체판 및 back-iron 부분들에서의 전류의 연속성을 나타내면 다음과 같다.

$$\int_{S_1} \sigma \left(\frac{\partial A}{\partial t} + \frac{\partial \phi_1}{\partial z} \right) dx dy = 0, \int_{S_2} \sigma \left(\frac{\partial A}{\partial t} + \frac{\partial \phi_2}{\partial z} \right) dx dy = 0 \quad (10)$$

$$\int_{S_3} \sigma \left(\frac{\partial A}{\partial t} + \frac{\partial \phi_1}{\partial z} \right) dx dy = 0, \int_{S_4} \sigma \left(\frac{\partial A}{\partial t} + \frac{\partial \phi_2}{\partial z} \right) dx dy = 0 \quad (11)$$

식 (10)과 (11)에 후퇴 차분법을 적용하고 정리하면 다음과 같다.

$$\begin{aligned}
U_1 A_{t+\Delta t} + U_2 A_{t+\Delta t} + U_3 A_{t+\Delta t} + U_4 A_{t+\Delta t} + H_1 \frac{\partial \phi_1}{\partial z}_{t+\Delta t} + \\
H_2 \frac{\partial \phi_2}{\partial z}_{t+\Delta t} + H_3 \frac{\partial \phi_3}{\partial z}_{t+\Delta t} + H_4 \frac{\partial \phi_4}{\partial z}_{t+\Delta t} = M_t
\end{aligned} \quad (12)$$

식 (3)과 식 (7) 및 식 (12)를 조합해서 표현하면 다음과 같은 전체 계 매트릭스가 된다. 전체 계 매트릭스의 계수 매트릭스는 $\frac{\partial \phi}{\partial z}$ 의 도입으로 인하여 비대칭 매트릭스가 되므로 비대칭 매트릭스를 풀 수 있는 BCG법을 이용하여 해를 구한다.

$$\begin{aligned}
[S \ C \ Z_1 \ Z_2 \ Z_3 \ Z_4] \begin{bmatrix} A \\ I \\ \frac{\partial \phi_1}{\partial z} \\ \frac{\partial \phi_2}{\partial z} \\ \frac{\partial \phi_3}{\partial z} \\ \frac{\partial \phi_4}{\partial z} \end{bmatrix}_{t+\Delta t} = [G]_t \\
= \begin{bmatrix} 0 & 0 & 0 & 0 \\ 0 & 0 & 0 & 0 \\ U_1 & 0 & 0 & 0 \\ U_2 & 0 & 0 & 0 \\ U_3 & 0 & 0 & 0 \\ U_4 & 0 & 0 & 0 \end{bmatrix} \begin{bmatrix} A \\ I \\ \frac{\partial \phi_1}{\partial z} \\ \frac{\partial \phi_2}{\partial z} \\ \frac{\partial \phi_3}{\partial z} \\ \frac{\partial \phi_4}{\partial z} \end{bmatrix}_t + \begin{bmatrix} G \\ F \\ 0 \\ 0 \\ 0 \\ 0 \end{bmatrix}_t
\end{aligned} \quad (13)$$

3. 시뮬레이션 결과 및 고찰

그림 2는 그림 1에서의 A모델(알루미늄 도체판과 back-iron의 접합부의 위치가 동일한 경우)과 B모델(알루미늄과 back-iron의 접합부의 위치가 31[mm] 떨어진 경우)에 대한 자속 분포도를 보여준다. 특히, 2차축에서의 자속 분포도는 접합부의 존재로 인하여 왜성이 일어남을 알 수 있다. 그림 3과 그림 4는 각각 A 모델과 B모델의 추력과 수직력 특성을 나타낸다. A 모델, B모델 모두 1차축이 2차축의 접합부 영역 위를 진입하는 시점에서부터 추력과 수직력의 리플이 증폭됨을 알 수 있다. B모델은 A모델에 비하여 추력과 수직력의 평균치가 각각 20%와 15% 가량 감소하게 되며, 리플의 크기 비교는 표 2에 나타내었다.

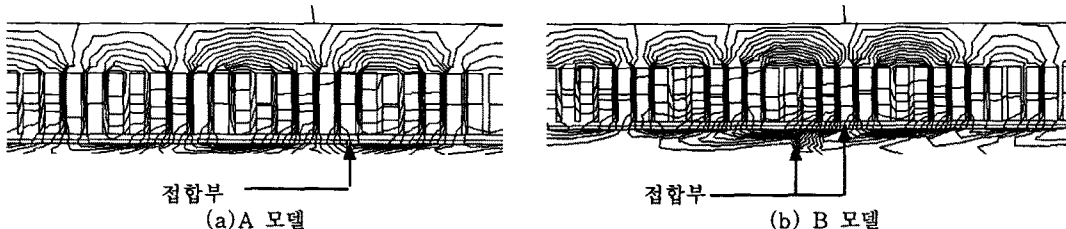


그림 2 자속 분포도

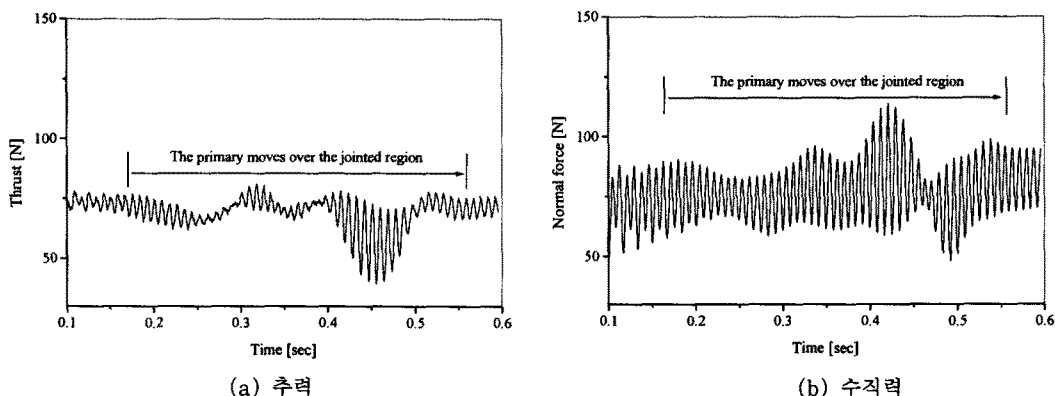


그림 3 추력 및 수직력 특성(A 모델)

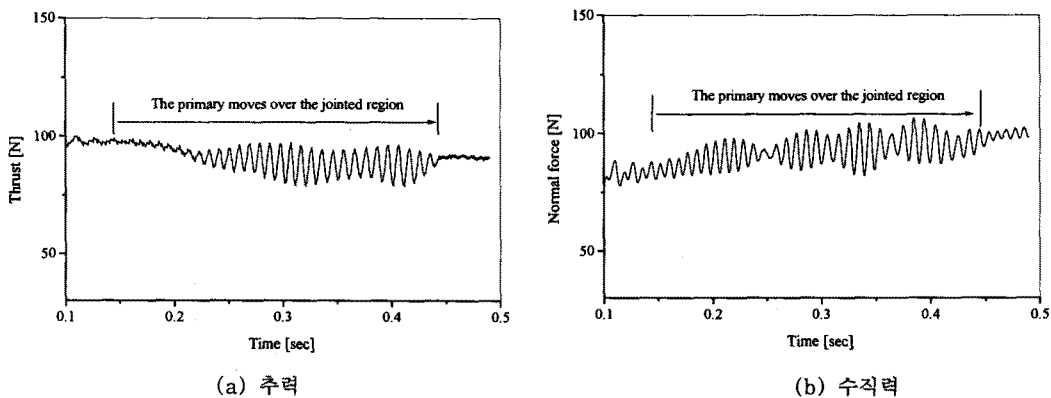


그림 4 추력 및 수직력 특성(B 모델)

표 2 추력 및 수직력 리플의 최대치 비교

	추력 리플	수직력 리플
A 모델	33.58[N]	54.76[N]
B 모델	18.17[N]	22.4[N]

4. 결 론

본 논문에서는 선형 유도전동기 1차측이 2차측 알루미늄 도체판과 back-iron이 접합되어 있는 부분을 이동할 때의 추력과 수직력 특성을 시간차분 유한 요소법과 운동 방정식을 이용하여 해석하였다. 해석 결과, 2차측의 접합부는 와전류 경로의 차단 및 자기적 경로의 변경을 유발시켜 1차측의 이동시에 추력과 수직력의 리플 크기를 변화시키므로, 전동기의 동특성과 전동기가 장착된 시스템의 기계적 진동 특성에 큰 영향을 미침을 알 수

있었다. 특히, 2차 도체판과 back-iron의 접합부의 위치가 동일한 경우는 그렇지 않은 경우보다 추력 및 수직력의 리플율이 약 2 배 증가함을 알 수 있었다.

(참 고 문 현)

- [1] Sakutaro Nonaka, Tatsuya Furukawa, "Finite Element Analysis of Linear Induction Motors Taking into Account Discontinuity of Secondary Rails", *Maglev'89*, pp. 339-344, July, 1989.
- [2] A. Gastli, "Compensation for the effect of joints in the secondary conductors of a linear induction motor", *IEEE Trans. on Energy Conversion*, Vol. 13, No. 2, June 1998
- [3] Dal-Ho Im, Chang-Eob Kim, "Finite Element Force Calculation of a Linear Induction Motor Taking Account of the Movement", *IEEE Trans. on Magnetics*, Vol. 30, No. 5, September 1994
- [4] 임달호, "전기제의 유한 요소법", 동명사, 1992